

## 6. Dielektrische Eigenschaften von Isolatoren

Da die Ladungen sich in einem Isolator nicht frei bewegen können, kann elektrostat. Feld in Prosa einfließen. Das ist carriert

- statische Dielektrizitätskonst.  $\epsilon_0$
- optische Eigenschaften, d.h. Response auf c.m. Strahlung  $E_\infty$
- Frequenz DK  $\epsilon(\omega)$

**Ausgangspunkt:** Maxwell-Gl der Elektrostatik. Dabei muss untersucht werden zw. makroskop. und mikroskop. elektrostat. Feld

### 6.1 Makroskop. und mikroskop. elektrostat. Feld

Auf atomarer Skala variiert die Ladungsdichte  $\rho(r)$  eines Isolators sehr schnell, ebenso das mikroskop. Feld  $E^{\text{mikro}}$  wegen

$$\nabla E(r) = \frac{1}{\epsilon_0} \rho(r)$$

$$\nabla D = \nabla (\epsilon_0 E(r) + P(r)) = 0$$

P dielektr. Polarisierung

gemischt in der Einheitszelle

 Definiere das makroskop. elektrostat. Feld in der Probe durch  $E(r) = \frac{1}{V} \int d\tau' E^{\text{mikro}}(r')$

wobei z.B. eine Einheitszelle interpretiert wird. (Volumen  $V$ )

- z. Bf.  $E + E_0$  (äußeres Feld). Das äußere Feld erzeugt Polarisierung  $P$  in der Probe, Diskontinuität von  $P$  an der Oberfläche verleiht weifachse Oberflächensubladung, die ein depolarisierendes Feld  $E_1$  erzeugt.  $E_1$  ist  $E_0$  entgegengesetzt.  $E_1 < E_0$

• Für Ellipsoide (einschl. Kugeln, Kreiseln, Zylindern) ist kein innerlich homogenes  $E_0$  auch  $P$  homogen.  $E = E_0 + E_1$

- Wenn  $E_0$  über einer Hauptachse

$N_i$ : Depolarisierungsfaktoren, dimensionslos gilt:  $N_1 + N_2 + N_3 = 1$

$N_1, N_2, N_3$  für belieb. Ellipsoid mit 3 Hauptachsen

• für Kugel  $8N_1 = 1 \quad N_1 = \frac{1}{3}$



• Längsstab  $N_1 = N_2 = \frac{1}{2} \quad N_3 = 0$

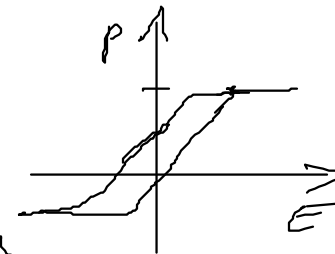


$2N_1 + N_3 = 1$

• Schicht  $N_1 = N_2 = 0 \quad N_3 = 1$

Die Größe der Polarisierung hängt ihrerseits von  $\chi$  ab. Mit der Def. der effekt. Suszeptibilität ist  $\chi$  durch

$$\begin{aligned} \hat{P} &= \chi \epsilon_0 \hat{E} \quad \Rightarrow \quad \hat{E}_0 + \hat{E}_1 = \hat{E}_0 - \frac{1}{\epsilon_0} N_i \hat{P} \\ \hat{P} &= \frac{\chi \epsilon_0}{1 + N_i \chi} \hat{E}_0 \end{aligned}$$

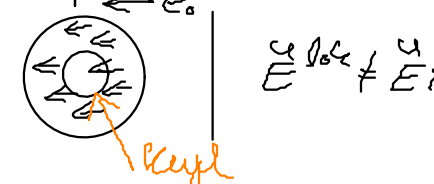


- für  $\chi \gg 1$ :  $P \approx \frac{\epsilon_0 E_0}{N_i}$  Bsp. Ferroelektrika

## Wie groß ist das lokale Feld am Ort eines Atoms?

Locales Feld = mikroskop. Feld vermindert um den Beitrag des Ions selbst: Locales Feld = Feld dieser äußere Quelle + Feld durch Dipole in der Probe

$$\hat{E}_{loc} = \underbrace{\hat{E}_0 + \hat{E}_1}_{\hat{E}} + \underbrace{\hat{E}_2 + \hat{E}_3}_{\text{Feld durch Dipole}}$$



$$\hat{E}_{loc} \neq \hat{E}_1$$

Abspaltung des Feldes durch Dipole davor (gedachte) Kugel um betrachtete Ion

$\hat{E}_2$  Feld durch Polarisierungsschichten auf Innenseite der Kugel

$\hat{E}_3$  Feld durch die Ladung in der Kugel

$$\hat{E}_1 + \hat{E}_2 + \hat{E}_3 = \sum_i \frac{3(\vec{p}_i \cdot \vec{r}_i)\vec{r}_i - \vec{r}_i^3 \vec{p}_i}{4\pi \epsilon_0 r_i^5}$$

## Summe der Abspaltung

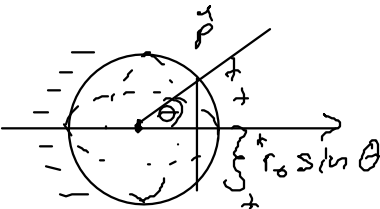
Dipole außerhalb der Kugel (Radius  $r_0$ ) liegen, liefern anderen Beitrag, der gleich verläuft, d. h. wir können die Summe ersetzen durch zwei Oberfl. Integrale über Polarisationschichten.

**Eigentl. Satz aus Elektrostatisik:** Mikroskop. Feld, das durch eine räuml. konst. Polarisierung  $P$  hervorgerufen wird, ist gleich dem Feld, das im Vakuum durch eine gleichm. Oberfl. Ladungsdichte  $\sigma = \vec{n} \cdot \vec{P}$ , die auf der Probe sitzt entsteht. In Lenz. Obrfl.

- Wir können also die Oberfl. berechnen, die zu  $\hat{E}_1$  und  $\hat{E}_2$  führen
- $\hat{E}_1$  über Oberfl. der Probe =  $\frac{1}{\epsilon_0} N_i \hat{P}$

- $\vec{E}_2$  über Kugel mit Radius  $r_0 \approx 100\text{\AA}$ , d.h. 10-20 Gitterkonst. auf deren Längenskala ist  $\vec{r}$  räuml. konst.

$$\vec{E}_2 = \frac{1}{4\pi\epsilon_0} \int \frac{\vec{e}_r}{r_0^2} dA \quad \text{"Lorenzfeld"}$$



$$\begin{aligned} \vec{E}_2 &= \frac{1}{4\pi\epsilon_0 r_0^2} \int_{-\pi}^{\pi} 2\pi r_0 \sin\theta r_0 d\theta \cdot p \cos\theta \cos\theta \\ &= \frac{1}{2\epsilon_0} \vec{p} \left[ -\frac{\cos^3\theta}{3} \right]_{-\pi}^{\pi} = \frac{1}{3\epsilon_0} \vec{p} \text{ unabh. von } r_0! \end{aligned}$$

- $E_3$  hängt ab von Details des Kristallstruktur. Im kubischen Systemen und alle Dipole  $\parallel$ :

$$E_{32} = \vec{p} \sum_i \frac{3z_i^2 - r_i^2}{4\pi\epsilon_0 r_i^5} = \vec{p} \sum_i \frac{2z_i^2 - x_i^2 - y_i^2}{4\pi\epsilon_0 r_i^5}$$

Symmetrie von Leibniz und Egel in x, y, z-Richtung äquivalent

$$\sum_i \frac{z_i^2}{r_i^5} = \sum_i \frac{x_i^2}{r_i^5} = \sum_i \frac{y_i^2}{r_i^5} \Rightarrow \vec{E}_3 = 0$$

- Bei kubischer Dichtegradienten des Atoms

$$\vec{E}^{pol}(\vec{r}) = \vec{E}(\vec{r}) + \frac{1}{3\epsilon_0} \vec{p}(\vec{r}) \quad \text{Lorenzbeziehung}$$

besonders bei Beschreibung von Dielektrika.

## 6.2 Dielektrische Konstante und Polarisierbarkeit

Dielektr. Konstante  $\epsilon$  eines isotropen oder kubischen Mediums

$$\vec{D} = \epsilon \epsilon_0 \vec{E} = \epsilon_0 \vec{E} + \vec{P}$$

$$\vec{P} = (\epsilon - 1) \epsilon_0 \vec{E} = \chi \epsilon_0 \vec{E}$$

- $\vec{E}$ : makroskop. elektr. Feld

- nicht kubische Kristalle:  $\epsilon, \chi$  Tensoren 2. Stufe

$$\epsilon_{\mu\nu} = \chi_{\mu\nu} \epsilon_0 \epsilon_y \quad \epsilon_{\mu\nu} = 1 + \chi_{\mu\nu}$$

- kubische Polari.:

$$\vec{P}(\vec{r}) = (\epsilon - 1) \epsilon_0 \vec{E}(\vec{r}) \Rightarrow \vec{E}^{pol}(\vec{r}) = \frac{\epsilon + 2}{3} \epsilon_0 \vec{E}(\vec{r})$$

## Polarisierbarkeit $\alpha$ eines Atoms (Ions)

$$\vec{p} = \alpha \vec{E}^{pol} \quad \vec{p} \text{ ist das atomare Dipolmoment}$$

Polarisation  $\vec{P} = \frac{1}{V} \sum_j N_j \vec{p}_j = \frac{1}{V} \sum_j N_j \alpha_j \vec{E}_j^{pol} = \frac{1}{V} \sum_j N_j \alpha_j \frac{\epsilon + 2}{3} \epsilon_0 \vec{E}$

j verschiedene Atomsorten

$N_j$  Anzahl

$$= (\epsilon - 1) \epsilon_0 \vec{E}$$

$$\frac{\varepsilon - 1}{\varepsilon + 2} = \frac{1}{3\varepsilon_0} \frac{1}{V} \sum_j N_j \alpha_j$$

Clawes - Klosotti-Berechnung

Zusammenhang zw. makroskop ( $\varepsilon$ ) und mikroskop ( $\alpha_j$ ) Größen

## Mikroskop Ursache der Polarisierbarkeit

- Elektrische Pol. (oder Atomar) 
- Ionische (Verschiebungspol.) 
- Dipolare (Orientierungspol.) 

## 6.3 Verschiebungspolarisation

tritt z.B. bei opt. Verzerrungen auf

**Beispiel:** Kristall mit 2 Ionenarten,  $e^-$  und  $e^+$  ohne Atomar Pol.  $\vec{p} = e \vec{\omega}$   $\vec{\omega} = \vec{v} - \vec{u}$  ( $f = \frac{\partial^2 \phi}{\partial r_i \partial r_j} = \text{Tensor}$ )  
bei Verzerrung des Kristalls (langsame Abhängigkeit von atomarer Skala)

BGLs  $M \ddot{\vec{\omega}} = -2 f (\vec{v} - \vec{u}) + e \vec{E}^{ext}$   
 $m \ddot{\vec{\omega}} = -2 f (\vec{v} - \vec{u}) - e \vec{E}^{ext}$  red. Masse  $\mu = \frac{mM}{m+M}$

$$\ddot{\vec{\omega}} = \ddot{\vec{v}} - \ddot{\vec{u}} = \frac{e}{\mu} \vec{E}^{ext} - \frac{2f}{\mu} 2 \vec{\omega}$$

**Auswerte:**  $\vec{E}^{ext} = E_0 e^{-i\omega t}$   $\Rightarrow \ddot{\vec{\omega}} = \ddot{\vec{\omega}_0} e^{-i\omega t}$   
 $\ddot{\vec{\omega}_0} = \frac{e \vec{E}^{ext}}{\mu} \frac{1}{\ddot{\omega}^2 - \omega_0^2}$   $\ddot{\omega}^2 = \frac{2f}{\mu}$